

05.16.01

В 607 Государственный комитет СССР по народному образованию  
ЧЕЛЯБИНСКИЙ ПОЛИТЕХНИЧЕСКИЙ ИНСТИТУТ  
имени Ленинского комсомола

На правах рукописи

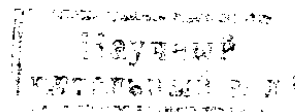
УДК 669.15 - 194.56

Внуков Вадим Юрьевич

СТРУКТУРА И СВОЙСТВА ХРОМО-МАРГАНЦЕВЫХ  
АУСТЕНИТНЫХ СТАЛЕЙ ДЛЯ БАНДАЖНЫХ КОЛЕЦ  
ТУРБОГЕНЕРАТОРОВ

Специальность 05.16.01 - "Металловедение  
и термическая обработка металлов"

Автореферат  
диссертации на соискание ученой степени  
кандидата технических наук



Челябинск

1990

Работа выполнена на кафедре металловедения и термической обработки металлов Челябинского политехнического института имени Ленинского комсомола.

Научный руководитель - доктор технических наук,  
профессор И. Г. Журавлев.

Официальные оппоненты: доктор технических наук,  
профессор В. С. Актынов,  
кандидат технических наук,  
в.н.с. Л. А. Алихмина.

Ведущая организация - Институт черных металлов  
(г. Свердловск).

Защита диссертации состоится "7" марта 1990 г.  
в 14 час. на заседании специализированного совета  
Д 053.13.04 при Челябинском политехническом институте  
имени Ленинского комсомола по адресу: 454080, г. Челябинск,  
пр. им. В. И. Ленина, 76.

С диссертацией можно ознакомиться в библиотеке ЧПИ.  
Автореферат разослан "5" февраля 1990 г.

Ученый секретарь  
специализированного совета,  
кандидат технических наук

  
O. K. Токовой

## ОБЩАЯ ХАРАКТЕРИСТИКА РАБОТЫ

Актуальность темы. Электрическую энергию сегодня получают в основном с помощью электрогенераторов. Бандажи - массивные стальные кольца, удерживающие обмотку ротора, принадлежат к числу наиболее напряженных частей турбогенераторов. Высокий комплекс механических свойств бандажного кольца (в зависимости от мощности турбогенератора  $B_{0,2}$  должен быть равен  $900 \text{ Н}/\text{мм}^2$  и выше,  $\delta$  не ниже 16-20 %) должен сочетаться с немагнитностью.

При изготовлении бандажные кольца подвергаются раздаче в холодном состоянии. Во время этой операции одновременно происходит деформационное упрочнение материала до нужного уровня и формирование кольца. Сложность технологии изготовления бандажных колец приводит к постоянному снижению числа поставщиков на мировом рынке. В настоящее время все производство сосредоточено в нескольких крупных фирмах ФРГ, Франции и Японии. ПО "Уралмаш" является единственным производителем крупных немагнитных бандажных колец в СССР.

Используемая до последнего времени сталь 50Г18Х5 удовлетворяет предъявляемым требованиям по части механических и физических свойств, но не обладает достаточной стойкостью против коррозионного растрескивания (КР) в воде, хлоридах и других агрессивных средах. Несмотря на строгий контроль качества бандажных колец, известны случаи аварий турбогенераторов, носящих катастрофический характер. Установлено, что причиной большинства аварий было разрушение бандажных колец, вызванное коррозионным растрескиванием.

Эксплуатация бандажей из стали 50Г18Х5 связана с периодическими остановками турбогенераторов на профилактический осмотр и замену колец. Применение материала, стойкого против КР, повысит коэффициент использования турбогенераторов, уменьшит материальные затраты в данной области народного хозяйства, а самое главное - исключит возможность тяжелых аварий на электростанциях.

В последнее время зарубежные фирмы проводят интенсивные исследования по разработке новых сталей, стойких против коррозии под напряжением. На заводах фирмы "Крупп" эти исследования завершились созданием стали Р-900, содержащей около 18 % Cr, 18 % Mn и 0,55 % N. В Советском Союзе нет опыта производства и использования стали такого типа.

Целью работы являлось изыскание новой немагнитной стали, обладающей повышенной по сравнению с применяемой сталью 50Г18Х5, стойкостью против КР и удовлетворяющей по своим механическим и физическим свойствам требованиям, предъявляемым к бандажным кольцам мощных турбогенераторов.

### Научная новизна

1. Установлена зависимость между степенью комплексного легирования хромом, никелем, азотом, углеродом и механическими свойствами аустенитных сталей с 19 - 20 % Mn.

2. Обнаружено, что пластическая деформация в области температур  $M_d +20\dots M_d +60$ , сопровождающаяся интенсивным междвойникование, повышает стойкость против КР Cr - Mn аустенитных сталей.

3. Установлено, что замена углерода (0,5 %) на такое же количество азота в аустенитных сталях, содержащих по 18 - 19 % хрома и марганца, увеличивает инкубационный период выделения избыточных фаз в температурном интервале 500 - 1000 °C, что позволяет сохранить высокую стойкость сталей против КР после закалки с малыми скоростями охлаждения (I и 3 K/c), соответствующими темпам охлаждения крупной бандажной заготовки.

4. Показано, что после растворения продуктов частичного ячеистого распада исходный размер зерна Cr - Mn аустенита полностью восстанавливается.

**Практическая ценность.** Изучена серия аустенитных сталей, содержащих азот, стойких против КР и обладающих после холодной пластической деформации свойствами, необходимыми для материала бандажных колец турбогенераторов. Предложены интервалы предпочтительного содержания углерода и азота в бандажных сталях. Результаты исследования использованы на ПО "Уралмаш" при изготовлении промышленных бандажных колец для турбогенераторов большой мощности. Использование новой стали позволит отказаться от импорта бандажных колец из развитых капиталистических стран. Ожидаемый экономический эффект от применения стали, стойкой против КР, составляет 457543 руб. Долевое участие ЧПИ 130000 руб.

На защите вносятся:

1. Результаты исследования структуры и свойств аустенитных Cr-Mn сталей, содержащих углерод и (или) азот.
2. Результаты изучения влияния химического состава и скорости охлаждения или изотермического отжига на стойкость аустенитных Cr-Mn сталей против коррозионного растрескивания.
3. Результаты исследования процессов, протекающих при ячейистом распаде пересыщенного аустенита и растворении продуктов распада.
4. Способы повышения стойкости против КР Cr-Mn сталей с 0,5 % С путем предварительной деформации при отрицательных температурах или ВТМО.

Апробация работы. Основные результаты диссертации доложены и обсуждены на научно-техническом совещании "Структура и прочность материалов в широком диапазоне температур" (г. Москва, 1986 г.); научно-технической конференции "Состояние и перспективы развития производства и применения сталей со сверхвысоким содержанием азота" (г. Москва, 1986 г.); семинарах "Повышение свойств конструкционных сталей легированием и термообработкой" (г. Киев, 1989 г.) и "Фундаментальные проблемы старения. Разработка новых классов стареющих сплавов" (г. Свердловск, 1989 г.); ежегодных научных конференциях Челябинского политехнического института 1986 - 1989 годов.

Публикации. По теме диссертации опубликовано пять работ, получено одно авторское свидетельство.

Объем работы. Диссертация состоит из введения, 6 глав, заключения, 62 рисунков, 18 таблиц. Содержание работы изложено на 168 страницах. В качестве приложения представлены копии актов внедрения.

## СОДЕРЖАНИЕ РАБОТЫ

Во введении обосновывается актуальность работы, сформулированы цель и положения, определяющие научную новизну исследований.

## МАТЕРИАЛЫ И МЕТОДИКА ИССЛЕДОВАНИЯ

Работа была проведена на серии лабораторных плавок, химический состав которых приведен в табл. I.

Стали выплавлены в дуговой печи. Слитки массой 30 кг были гомогенизированы при 1200 °C и прокованы на прутки сечением 18 x 18 мм. Заготовки длиной 70 мм, нарезанные из прутков, аустенитизировали при температуре 1150 °C (сталь 50Г18Х5 при 1050 °C) в течении 30 минут, затем охлаждали с различными скоростями. В воде заготовки охлаждаются со скоростью ~ 100 K/c. Для получения реальной скорости охлаждения бандажного кольца применяли замедленное охлаждение заготовок (1 K/c и 3 K/c). Скорость охлаждения определена для температурного интервала 1100 - 550 °C.

Механические свойства определялись на машине ИМ - 4Р, кроме МК - 30 в соответствии с ГОСТами 1497 - 73 и 9454 - 78.

При изучении упрочнения сталей в ходе пластической деформации были использованы две методики: одна включала предварительное растяжение образцов со все увеличивающейся степенью деформации, перекопировку поверхности и испытания растяжением до разрыва, другая - расчет механических свойств по диаграмме истинных напряжений неупрочненного образца.

Стойкость сталей против коррозионного растрескивания оценивали на переоборудованных прессах Бринелля, снабженных реверсирующим устройством для преобразования сжимающего усилия в растягивающее. Предварительно образцы деформировались на заданную степень (20 - 40 % относительного сужения), величина которой подбиралась опытным путем, исходя из требуемого значения предела текучести деформированного образца. Напряжение при испытаниях принималось практически равным пределу текучести наклепанного образца или 0,8 - 0,9  $\sigma_{0,2}$ . В качестве коррозионной среды выбран 20 % водный раствор поваренной соли.

Структуру образцов изучали на микроскопе "Neophot 21".

Рентгеноструктурные исследования проводились на дифрактометре ДРОН - 3 в излучении железного анода.

Электронно-микроскопические исследования выполнены на микроскопе "Tesla BS 513" на тонких фольгах, изготовленных по методу окна. Фрактографическое изучение поверхности разрушения проводили на микроскопе "Tesla BS 301".

### СТРУКТУРА И МЕХАНИЧЕСКИЕ СВОЙСТВА ХРОМО-МАРГАНЦЕВЫХ АУСТЕНИТИЧНЫХ СТАЛЕЙ

После охлаждения от 1150 °C в воде во всех исследованных сталях наблюдалась аустенитная структура с низкой плотностью дислокаций и прямыми границами, свободными от выделений.

Легирование основы 5Cr18Nb сопровождается закономерным изменением свойств. Прочностные свойства повышаются с увеличением степени легирования и суммарного содержания С и N (табл. 2). Как углеродистые, так и азотистые стали имеют высокий для сталей аустенитного класса предел текучести (до 520 Н/м<sup>2</sup>) при большом запасе пластичности ( $\delta'$  от 40 до 70 %). Легирование сталей никелем оказало отрицательное влияние на пластичность. Так, введение до 4 % Ni в стали с 13 - 14 % хрома почти не влияет на предел текучести и прочности, в то же время,  $\delta'$  и  $\psi$  снижаются до 42 и 38 % соответственно. Как показано ниже, при увеличении концентрации никеля в процессе холодной пластической деформации в сталях формируется жесткая дислокационная структура, вызывающая снижение комплекса механических свойств. С увеличением содержания хрома в сталях предел текучести monotonно повышается, причем более существенно в сталях, дополнительно содержащих азот. Предел прочности интенсивно возрастает с повышением содержания хрома до 9 %, мало меняясь при дальнейшем увеличении концентрации. Относительное удлинение имеет максимум при содержании хрома около 9 %, а относительное сужение снижается с увеличением концентрации хрома.

После замедленного охлаждения структура сталей с 0,5 % С и малоуглеродистых сталей с азотом заметно различаются. Особенность микроструктуры сталей, содержащих углерод, как охлажденных на воздухе, так и со скоростью 3 К/с, является проявление дисперсных частиц избыточных фаз, по-видимому карби-

Таблица I

## Химический состав опытных сталей

Номер плавки	Марка стали	Содержание элементов, вес. %							
		C	N	Cr	Mn	Ni	Mo	P	S
1	50Г19Х5	0,53	0,057	4,62	19,45	0,16	0,06	0,027	0,003
2	50Г19Х8НМФ	0,50	0,057	8,83	18,67	1,02	0,72	0,026	0,003
3	50Г19Х8НМАФ	0,48	0,210	8,46	18,61	1,11	0,60	0,026	0,003
4	50Г20Х14НМФ	0,56	0,071	13,61	20,00	1,23	0,58	0,038	0,003
5	50Г20Х14НМАФ	0,49	0,270	13,45	19,42	1,10	0,64	0,024	0,004
6	50Г20Х14Н2МФ	0,49	0,065	13,66	19,73	1,76	0,62	0,025	0,003
7	50Г20Х14Н4МФ	0,52	0,070	13,43	19,99	3,71	0,60	0,036	0,003
8	50Г19Х18Н4МФ	0,52	0,084	17,48	19,11	3,94	0,67	0,025	0,002
9	50Г19Х18Н3МФ	0,51	0,390	18,46	18,67	3,22	0,64	0,025	0,003
10	50Г20Х18НМФ	0,48	0,420	18,34	19,75	1,14	0,72	0,036	0,006
11	25Г19Х18НМФ	0,23	0,430	18,61	19,45	1,13	0,75	0,019	0,010
12	20Г20Х18АФ	0,21	0,480	17,40	20,48	-	-	0,028	0,008
13	16Г20Х20АФ	0,16	0,400	19,75	19,87	-	-	0,036	0,009

Продолжение таблицы I

Содержание элементов, вес. %

Номер плавки	Марка стали	C	N	Cr	Mn	Ni	Mo	P	S	Si	V
14	13Г20АХ19	0,13	0,430	18,65	19,45	-	-	0,035	0,008	0,46	-
15	08Г18АХ18	0,08	0,340	18,37	18,33	-	-	0,019	0,020	0,39	-
16	08Г22Х19МАФ	0,08	0,770	19,05	21,68	0,20	0,69	0,028	0,010	0,37	0,140
17	07Г19АХ19	0,07	0,720	19,25	19,34	-	-	0,023	0,007	0,50	0,030
18	05Г22АХ18	0,05	0,826	17,90	22,00	-	-	0,010	0,005	0,57	-
19	0,1Г20Х14Н4МАФ	0,05	0,274	13,45	19,62	4,12	1,06	0,022	0,010	0,39	0,095
20	05Г20Х7Н4МАФ	0,05	0,200	17,20	19,35	3,69	1,06	0,023	0,011	0,39	0,094

Примечание: сталь 0БГ22АХ18 выплавлена в ПРБ с использованием метода литья в пропарованным звота (пропарованная институтом металургии (Л.Челебинск)).

Таблица 2

Механические свойства сталей после austенитизации и растяжения на  
разные степени

Номер плавки	Марка стали	После охлаждения						После упрочнения					
		$\sigma_{0,2}$ , Н/мм <sup>2</sup>	$\sigma_b$ , Н/мм <sup>2</sup>	$\delta$ , %	$\psi$ , %	$\sigma_{0,2}$ , Н/мм <sup>2</sup>	$\sigma_b$ , Н/мм <sup>2</sup>	$\delta$ , %	$\psi$ , %	$\sigma_{0,2}$ , Н/мм <sup>2</sup>	$\sigma_b$ , Н/мм <sup>2</sup>	$\delta$ , %	$\psi$ , %
1	50Г19Х5	400	780	37	62	720	970	1070	900	1010	1090	36	29
2	50Г19Х9ИМФ	400	980	74	60	980	1120	1010	1140	1230	1290	45	47
3	50Г19Х9НМАФ	450	940	74	67	910	1080	1170	1130	1270	1290	51	50
4	50Г20Х14НМФ	390	880	68	62	740	1020	1190	1080	1230	1320	53	48
5	50Г20Х14НМАФ	450	970	86	65	950	1080	1230	1100	1240	1340	55	48
6	50Г20Х14Н2МФ	490	960	69	48	800	1090	1260	1130	1280	1380	47	36
7	50Г20Х14Н4МФ	390	860	69	48	880	1160	1330	1140	1290	1390	47	31
8	50Г19Х14НМФ	420	870	60	44	730	1040	1170	1010	1140	1230	39	27
		470	930	40	40	895	1170	1280	1070	1210	1300	22	31

Продолжение таблицы 2

Номер плавки	Марка стали	После охлаждения						После упрочнения									
		$\sigma_{0,2}$ , Н/мм <sup>2</sup>	$\sigma_b$ , Н/мм <sup>2</sup>	$\delta$ , %	$\psi$ , %	$\sigma_{0,2}$ , Н/мм <sup>2</sup>	$\sigma_b$ , Н/мм <sup>2</sup>	$\delta$ , %	$\psi$ , %	$\sigma_{0,2}$ , Н/мм <sup>2</sup>	$\sigma_b$ , Н/мм <sup>2</sup>	$\delta$ , %	$\psi$ , %				
9	50Г19Х18Н3МФ	540 510	1010 935	47 37	35 46	920 915	1260 1230	1390 1375	1160 1145	1310 1295	1410 1395	28 37	13 21	9 12	25 38	16 30	9 25
15	08Г18АХ18	530 510	910 900	67 65	73 75	830 825	1100 1085	1240 1225	1050 1040	1180 1170	1270 1260	45 43	23 21	19 18	69 71	65 67	62 64
19	03Г20Х14Н4М1	330 350	720 730	68 68	74 77	630 660	870 860	990 990	840 840	935 950	1005 1020	46 46	29 29	20 20	71 71	67 67	64 64

Примечание: числитель – охлаждение на воздухе, знаменатель – закалка в воде.

дов или карбонитридоз, на большеугловых границах. Количество выделений увеличивается с повышением содержания хрома в стали.

При содержании хрома 5 - 8 % (плавки № 1, 2, 3) охлаждение на воздухе приводит к уменьшению максимальной пластичности ( $\psi$ ) по сравнению с закаленным состоянием. При концентрации хрома 14 - 18 % в аналогичных сталях (пл. № 4, 6 - 8)  $\psi$  оказывается ниже, а  $\delta$  выше, чем у закаленных образцов. Свойства после охлаждения со скоростью 3 К/с в большинстве случаев оказываются промежуточными по сравнению с закаленным состоянием и охлаждением на воздухе, но ближе к свойствам второго режима.

Полная замена 0,5 % С на азот отразилась на повышении  $\delta_{0,2}$  при почти одинаковых с безазотистыми сталями остальных характеристиках (пл. № 8 и 15). С дальнейшим увеличением содержания азота предел текучести и предел прочности исследуемых сталей монотонно возрастают, при этом  $\delta$  и  $\psi$  до 0,7 %N понижается незначительно, еще большее повышение концентрации азота приводит к заметному их снижению.

Свойства малоуглеродистых сталей с азотом практически не зависят от скорости охлаждения в исследованных пределах. Принципов выделения избыточных фаз не обнаруживается и структура сталей остается аналогичной закаленному состоянию. При повышении содержания углерода до 0,23 % в стали 25Г20Х18НМАФ при скорости охлаждения 3 К/с появляются зернограничные выделения, не захватывающие все границы, хотя суммарное содержание углерода и азота равно 0,85 %.

Исследуемые стали обладают хорошей упрочняемостью. Предел текучести при равных степенях деформации у всех сталей, за исключением 05Г20Х14Н4МАФ, выше, чем у стали 50Г19Х5, используемой в качестве материала для бандажных колец. По расчетным кривым зависимости механических свойств от степени предварительной деформации были определены свойства опытных сталей, соответствующие пределу текучести 1200 Н/мм<sup>2</sup>. Указанный уровень  $\delta_{0,2}$  достигается при растяжении закаленных образцов на 30 - 45 %. При этом наибольшим запасом пластичности обладает сталь 50Г20Х14НМАФ (табл. 2).

Изучение тонких фольг показало, что после деформирования аустенитных Cr-Mn сталей на 30 % при комнатной температуре обнаруживается целый спектр структур: ячеистая, двойникованная, смешанная структура (табл. 3). Из числа исследованных, полностью ячеистой структурой обладает только сталь 50Г20Х14Н4МФ. Большая группа сталей после деформации имеет смешанную структуру. В этом

Таблица 3

Тонкая структура деформированных на 30 - 35 % при комнатной температуре Ст-Мn сталей

Номер плавки	Марка стали	Наблюдаемая структура	
7	50Г20Х14Н4МФ	Ячеистая	
6 19	50Г20Х14Н2МФ 05Г20Х14Н4МАФ	С преобладанием ячеистой структуры	Совместное существование структур
3 4 5 10 11 15 20	50Г19Х9НМАФ 50Г20Х14НМФ 50Г20Х14НМАФ 50Г20Х19Н3МАФ 25Г20Х19НМАФ 08Г18АХ18 05Г20Х7Н4МАФ	С преобладанием двойников	
1 2	50Г19Х5 50Г19Х9НМФ	Двойники	

случае часть зерен деформируется двойникование, часть скольжением, причем различные механизмы деформации могут развиваться в соседних зернах. Двойникованная структура представляет собой систему тонких двойников и пакетов ДУ. Может наблюдаться от одной до трех ориентировок двойников и ДУ типа {III} (чаще двух), которые расположены на фоне равномерно распределенных дислокаций. В сталях 50Г19Х5 и 50Г19Х9НМФ формируется в основном микродвойникованная структура. Так как механизм деформации непосредственно связан с энергией дефектов упаковки, то можно предположить, что эти стали обладают самой низкой ЭДУ из числа исследованных, а 50Г20Х14Н4МФ - самой высокой.

Лучшим сочетанием свойств обладают стали, в которых деформация осуществляется преимущественно микродвойникованием. Можно полагать, что большинство опытных сталей обладает эффектом пластичности, наведенной двойникование. Сочетание высокой пластичности и прочности определяется тем, что двойники предотвращают локализацию пластической деформации, образование трещин.

Свойства сталей, содержащих 0,5 % С, после замедленного

охлаждения от температуры аустенитизации заметно ухудшается. Предел текучести  $1200 \text{ Н/мм}^2$  был достигнут при растяжении со степенями деформации до 40% только на сталях с повышенным количеством хрома, содержащих одновременно углерод и азот.

Механические свойства стали О8Г18Х18 изучали в температурном интервале от  $-196^\circ\text{C}$  до  $500^\circ\text{C}$ . При  $500^\circ\text{C}$  сталь упрочняется также интенсивно, как и при комнатной температуре, однако, относительное удлинение уменьшается при этом в большей мере. Снижение температуры испытания сопровождается сменой механизма деформации. Растяжение при  $100^\circ\text{C}$ , как и при  $500^\circ\text{C}$ , приводит к образованию ячеистой структуры. Деформация при комнатной температуре осуществляется в основном микродвойникование. Такая структура сохраняется до температуры испытания  $-35^\circ\text{C}$ . В интервале  $-70\dots-110^\circ\text{C}$  наблюдаются тонкие двойники нескольких ориентировок и пакеты ДУ, при  $-196^\circ\text{C}$  — скопления расщепленных дислокаций, микродвойники и широкие ДУ, расположенные в параллельных плоскостях. С понижением температуры прочностные свойства этой стали монотонно возрастают, в то время как  $\delta$  и  $\psi$  снижаются незначительно до  $-100^\circ\text{C}$ , а в интервале  $-100\dots-196^\circ\text{C}$  резко падают. Эта закономерность сохраняется и после предварительной холодной пластической деформации на 35% (рис. I).

Температурная зависимость механических свойств стали О8Г18Х18, предварительно упрочненной растяжением на 35% при  $20^\circ\text{C}$

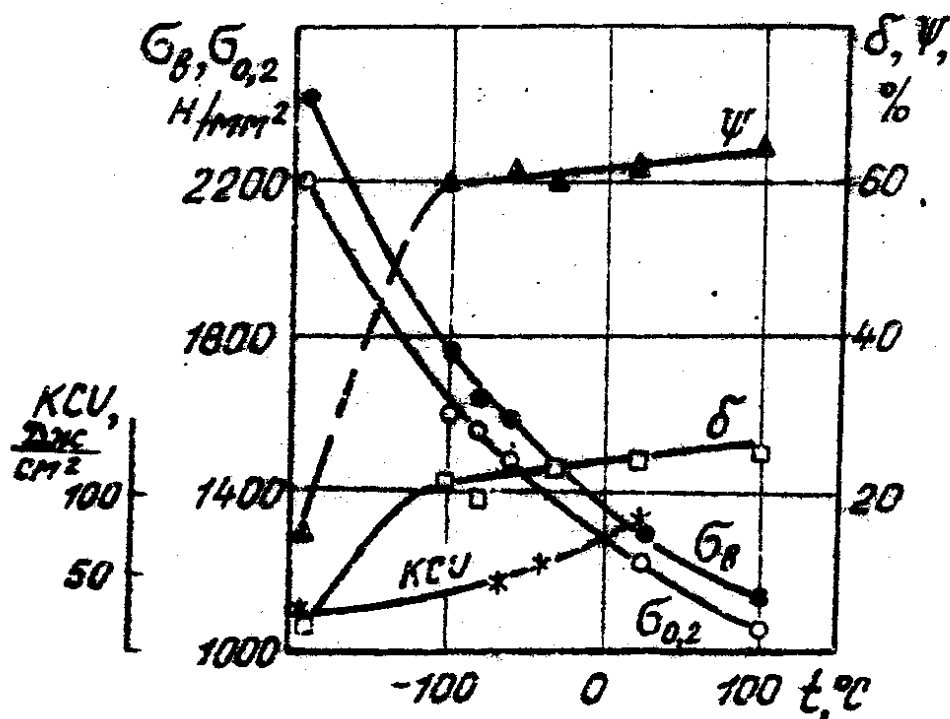


Рис. I

## СТОЙКОСТЬ ОПЫТНЫХ СТАЛЕЙ ПРОТИВ КОРРОЗИОННОГО РАСТРЕСКИВАНИЯ

Основным критерием для определения стойкости образцов против КР было принято время до их разрушения. На поверхности образца при совместном воздействии коррозионной среды и приложенных напряжений образуется несколько трещин, которые проникают на определенную глубину. Когда сечение образца становится меньше критического, происходит быстрый долом.

Увеличение степени деформации, предшествующей испытаниям, и начальных напряжений снижает время до разрушения образцов.

ВТМО благоприятно воздействует на стойкость стали 50Г19Х5 против КР (время до разрушения при равном уровне напряжений возросло в 1,7 - 3 раза). Проводирующий отжиг при 650 °C в течение 6 часов уменьшает время до разрушения как закаленных образцов (время до разрушения составило несколько часов), так и подвергнутых ВТМО ( $\tau_{\text{разр.}} = 330 \dots 580$  ч).

Повышение содержания хрома в стали до 8 - 9 % и дополнительное легирование никелем (около 1%), молибденом (0,6 - 0,7 %) и ванадием (0,1 %) существенным образом не изменило время до разрушения образцов. Магистральная коррозионная трещина распространяется по границам аустенитных зерен. Стали, содержащие 13 - 14 % С<sub>в</sub>, обладают наименьшей стойкостью против КР из числа исследованных материалов. При увеличении содержания хрома до 18 % стойкость закаленных сталей резко возрастает. Образцы не разрушаются в течении 1200-1600 ч.

Стали, содержащие 0,5 % С, оказались стабильными при деформации до -80 °C, что позволяет получить  $\sigma_{0,2} = 1100$  Н/м<sup>2</sup> без образования  $\lambda$ -мартенсита при значительно меньшей степени деформации, чем в обычных условиях. За счет уменьшения степени предварительной деформации низкотемпературное растяжение на 20 - 30 % обеспечивает увеличение времени до разрушения образцов на 200 и более часов по сравнению с обычными испытаниями. Деформация ниже -80 °C приводит при растяжении к образованию мартенситных фаз, что уменьшает сопротивление КР. При -20 °C кроме микродвойников и ДУ наблюдаются дислокационные ячейки, коэффициент упрочнения становится почти таким же, как при комнатной температуре и предлагаемая обработка теряет свою эффективность. Таким образом, предпочтительный интервал температур деформации ограничен областью  $M_d + 20 \dots M_d + 60$  °C, что для опытных сталей составляет -40...-80 °C.

Замедленное охлаждение всех исследованных сталей, содержащих 0,5 % С, приводит к катастрофическому падению стойкости против КР, образцы разрушаются в течение нескольких часов. При этом коррозионная трещина проходит исключительно по границам зерен. В зоне КР обнаружены карбиды, которые имеют форму пластинок или дендритов и покрывают всю межзеренную поверхность. Присутствие карбидов обуславливает, во-первых, образование вокруг выделившихся частиц зон обедненного хромом аустенита, во-вторых, образование гальванической пары карбид-матрица, что приводит к ускоренному продвижению коррозионной трещины.

Стойкость малоуглеродистых сталей с азотом повышается с увеличением содержания хрома в твердом растворе. Высоким сопротивлением обладают стали, содержащие 18 - 19 % Cr и 0,05 - 0,08 % C (пл. № I6, I7). Все образцы после длительных испытаний были сняты без видимых коррозионных повреждений. Замедленное охлаждение со скоростью 1 К/с не оказывает влияния на их стойкость против КР.

#### РАСПАД ПЕРЕСЫПЕННОГО АУСТЕНИТА Cr - Mn СТАЛЕЙ

Малоуглеродистые стали с азотом менее чувствительны к скорости охлаждения, чем высокоуглеродистые. Однако при изотермической выдержке в интервале температур 550 - 1050 °C в них происходит ячеистый (прерывистый) распад аустенита. Были построены диаграммы изотермического распада, имеющие С-образную форму. Начинается распад с выделения дисперсных частиц по границам зерен, затем происходит рост перлитоподобных ячеек, состоящих из чередующихся пластинок нитрида хрома  $Cr_2N$  и обедненного хромом и азотом аустенита. С течением времени превращение затухает, хотя не весь объем занимается ячеистым распадом. По-видимому, в аустенитной матрице уменьшается концентрация азота, который диффундирует из глубины зерен к фронту растущих ячеек. Косвенным подтверждением данному выводу служит то, что при увеличении длительности отжига понижается твердость нераспавшегося аустенита, уменьшается период решетки как нераспавшегося, так и обедненного аустенита. При определенной концентрации азота в матрице, соответствующей равновесному состоянию, превращение заканчивается. Этим, по-видимому, обусловлено то, что в сталях 05Г20Х7Н4МАФ и 05Г20Х14Н4МАФ, содержащих соответственно 0,2 и 0,27 % N отжиг при 800°C длительностью до 20 часов не приводит к ячеистому распаду, что подтверждается микроструктурными и центгенографическими исследованиями.

Повышение концентрации азота до 0,72 % (сталь 07Г19АХ19) приводит к уменьшению инкубационного периода ячеистого распада (~ 1 мин) по сравнению со сталью 08Г18АХ18, содержащей 0,56 % азота ( $T_{инк.} \sim 25$  мин). При этом "нсс" диаграммы сдвигается в область более высоких температур (900 - 950 °С). Введение углерода в стали, содержащие около 0,5 % азота (пл. № 9, II - I5) приводит к аналогичному эффекту. В стали 50Г19Х19Н3МАФ наряду с ячеистым происходит непрерывный распад внутри аустенитных зерен. Дисперсные частицы карбонитридов выделяются на дефектах кристаллического строения, в основном на дислокациях. Прерывистый и непрерывный распад проходят одновременно и конкурируют друг с другом.

Появление ячеек прерывистого распада резко снижает стойкость стали 07Г19АХ19 против КР (dc 26 - 40 ч). Коррозионная трещина распространяется в этом случае исключительно по границам зерен. После старения прочность изменяется незначительно, а  $\delta$  и  $\gamma$  заметно уменьшаются.

Холодная пластическая деформация стали 08Г18АХ18 существенно уменьшает инкубационный период выделения нитридов, а минимум его (~ 5 мин) сдвигается в область 830 °С. При температурах  $> 650$  °С на процессы распада накладывается рекристаллизация.

На стали 07Г19АХ19 была изучена возможность измельчения зерна путем перекристаллизации. После термообработки, заключающейся в закалке от 1150 °С и последующего старения при 800 °С в течение 6 ч, образцы нагревались до 1050 °С. Двадцатиминутной выдержки при этой температуре достаточно для полного растворения продуктов распада. Измельчения зерна не произошло. Серия задержек состаренных образцов при более низкой температуре (1025 °С) показала, что при растворении ячеек происходит обратное движение большеглавых границ, разделяющих ячейку и матрицу. В результате исходный размер зерна полностью восстанавливается. При повышении температуры отжига выше 1000 °С параметр решетки аустенита остается постоянным и равным периоду аустенита до старения, что говорит об обратном переходе азота в твердый раствор.

Чтобы определить оптимальное содержание углерода в сталях с 0,5 % N по формуле

$$U_{кр.} = \frac{T_{ауст.} - T_{мин.}}{1,5 T_{инк.}}$$

были рассчитаны критические скорости охлаждения, т.е. минимальные скорости, при которых полностью подавляется распад пересыщенного аустенита (рис. 2).

Зависимость инкубационного периода выделения избыточных фаз ( $T_{инк}$ ) и критической скорости охлаждения ( $U_{крит.}$ ) от содержания углерода в Ст - Мн аустенитных сталях

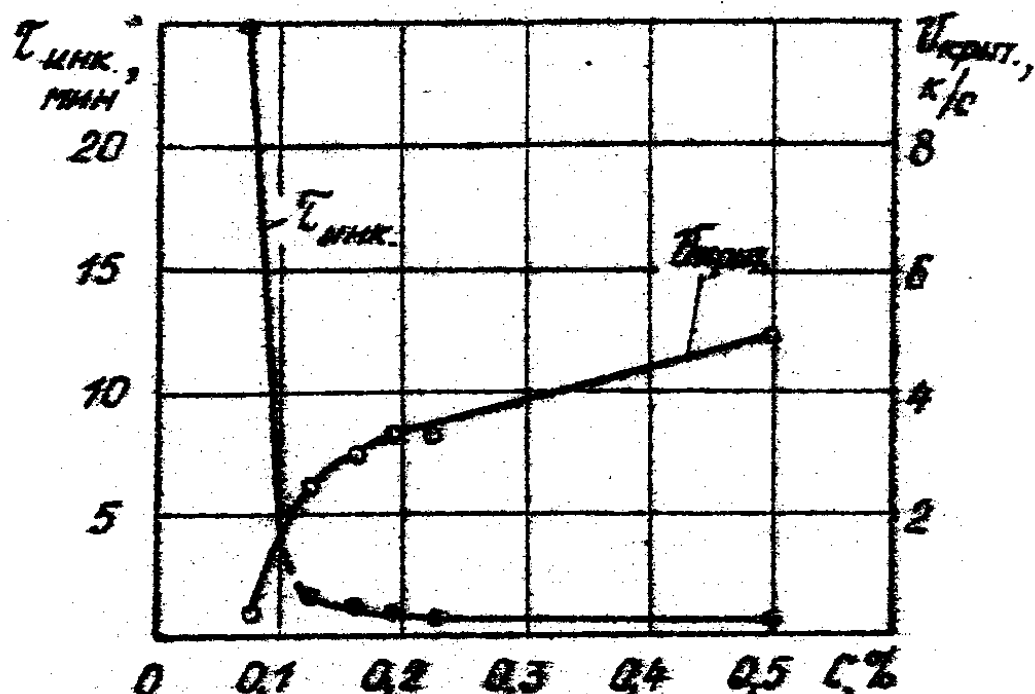


Рис. 2.

Если требуется избежать выделения избыточных фаз, то, зная условия охлаждения, по рис. 2 можно рассчитать предельно допустимую концентрацию углерода в стали. При реальной скорости охлаждения бандажного кольца (3 К/с), содержание углерода в азотистых сталях не должно превышать 0,1 %. С другой стороны, если известны размеры детали, то путем несложной процедуры, используя nomogramмы Блантера И.Е., можно выбрать среду, охлаждение в которой гарантировало бы полное подавление распада пересыщенного аустенита.

### ВЫВОДЫ

1. Исследованные Ст - Mn стали могут быть упрочнены холодной пластической деформацией до уровня  $B_{0,2} = 1200 \text{ Н/мм}^2$  (при  $\delta = 16 - 20 \%$ ). Лучшим сочетанием свойств обладают стали, в которых деформация осуществляется в основном микродвойникованием.

2. Устойчивое сопротивление закаленных сталей против коррозии под напряжением наступает при легировании 18 % хрома.

3. Замедленное охлаждение сталей с 0,5 % С вызывает выделение карбидов по границам зерен, что влечет за собой катастрофическое

падение стойкости против коррозионного растрескивания и ухудшение упрочняемости. Аустенит малоуглеродистых сталей с азотом более стабилен и принятые скорости охлаждения не влияют на механические свойства и стойкость сталей против КР.

4. В высокоазотистых сталях ( $\geq 0,39 \% N$ ) при изотермической выдержке в интервале температур  $550 - 1050 ^\circ C$  происходит ячеистый распад пересыщенного азотом аустенита, сопровождающийся диффузией азота на дальние расстояния. Минимальный инкубационный период при содержании азота 0,56 % составляет  $\sim 25$  минут при  $750 ^\circ C$ . Повышение в стали содержания азота или углерода приводит к уменьшению инкубационного периода и сдвигает "нос" С-образной диаграммы в область более высоких температур. Холодная пластическая деформация влияет аналогичным образом.

5. Появление продуктов ячеистого распада приводит к снижению пластичности и стойкости против КР Сч - Мл - N аустенитных сталей. Растворение продуктов распада приводит к восстановлению исходного размера зерна.

6. Оптимальное содержание азота в бандажных сталях составляет  $0,5 - 0,6 \%$ , углерода  $\leq 0,1 \%$ .

7. Результаты исследования были использованы на ПО "Уралмаш" при изготовлении промышленных бандажных колец турбогенераторов. Ожидаемый экономический эффект от применения стали, стойкой против коррозионного растрескивания, составляет 457543 руб. Долевое участие ЧПИ 130000 руб.

#### **ОСНОВНОЕ СОДЕРЖАНИЕ ДИССЕРТАЦИИ ОПУБЛИКОВАНО В РАБОТАХ:**

1. Структура и свойства высокопрочной аустенитной стали 05Г22Х18 после холодной деформации / Гойхенберг Ю.Н., Мирмельштейн В.А., Внуков В.Ю. // Вопросы производства и обработки металлов и сплавов.- Челябинск.- ЧПИ.- 1985.- С.67-69.

2. Сопротивление коррозионному растрескиванию, структура и свойства упрочненных хромо-марганцевых аустенитных сталей / Гойхенберг Ю.А., Журавлев Л.Г., Мирзаев Д.А., Журавлева В.В., Силина Е..., Внуков В.Ю. // ФМи.- 1987.- Т.63.- Вып.4.- С.793-800.

3. Гойхенберг Ю.Н., Мирзаев Д.А., Внуков В.Ю. Изменение структуры и свойств высокопрочной стали при пластической деформации в широком интервале температур // Тезисы докладов 12-й научно-технической конференции по тепловой микроскопии / Структура и прочность материалов в широком диапазоне температур.- Москва.- 1986.- С.66-67.

4. Исследование коррозионного растрескивания, структуры и свойств упрочненных Cr - Ni аустенитных сталей с азотом / Гойхенберг Ю.Н., Куравлев Л.Г., Мирзаев Д.А., Куравлева В.В., Силина Е.П., Внуков В.Ю.- ФММ.- 1988.- Т.65.- Вып.6.- С.1131-1137.

5. Гойхенберг Ю.Н., Куравлев Л.Г., Внуков В.Ю. Старение хромо-марганцевых аустенитных сталей с азотом // Тезисы докладов всесоюзного совещания / Фундаментальные проблемы старения. Разработка новых классов стареющих сплавов.- Свердловск.- ИФМ УрС АН СССР.- 1989.- С.40.

6. Авторское свидетельство 1340172 СССР, МКИ C23 C38/58. Способ обработки немагнитных аустенитных сталей для изготовления бандажных колец роторов / Ю.Н.Гойхенберг, Д.А.Мирзаев, Л.Г.Куравлев, В.А.Мирмельштейн, Е.П.Силина, В.Ю.Внуков // Б. И. - 1987.- №35.- С.270.

*всегда*